



Metacechy osobowości a wczesne nieadaptacyjne schematy Younga

Personality metatraits and Young's early maladaptive schemas

<https://doi.org/10.34766/fer.v59i3.1290>

Adam Grabowski^a

^a Dr Adam Grabowski, <https://orcid.org/0000-0002-1066-2329>, Wydział Studiów nad Rodziną, Uniwersytet Kardynała Stefana Wyszyńskiego w Warszawie

Abstrakt: *Wprowadzenie i cel:* Celem prezentowanych badań była próba określenia, reprezentowanych w metacechach, osobowościowych uwarunkowań wczesnych nieadaptacyjnych schematów w koncepcji Younga. Za podstawowe założenie przyjęto, że metacechy rozumiane jako uwarunkowane biologicznie, podstawowe siły kształtujące styl funkcjonowania człowieka w sferze myśli, uczuć i zachowań, wyjaśniają w znaczącym stopniu natężenie nieadaptacyjnych schematów poznawczo-emocjonalnych. *Material i metody:* Przebadano grupę 404 osób (221 kobiet i 183 mężczyzn) w wieku od 18 do 78 roku życia ($M = 37$; $SD = 10,78$). Respondenci wypełnili: *Kwestionariusz Osobowości CPM-Q-SF* oraz *Kwestionariusz Schematów Younga YSQ-S3*. *Wyniki:* Rezultaty uzyskane w toku zaawansowanych analiz statystycznych potwierdziły przyjęte założenie, że metacechy osobowości odgrywają ważną rolę w zakresie predykcji wczesnych nieadaptacyjnych schematów. Okazało się, że metacechy alfa-minus rozhamowanie i gamma-minus dysharmonia leżą u podstaw wszystkich pięciu obszarów schematów w ujęciu Younga. *Wnioski:* Weryfikacja omawianych zależności pozwala stwierdzić, że metacechy oznaczające chwiejność emocjonalną, niską tolerancję na frustrację, agresywność oraz depresyjność, nieufność i ogólnie słabą kondycję psychofizyczną mogą stanowić biologicznie uwarunkowaną osobowościową bazę organizacji i rozwoju dysfunkcyjnych kodów mentalnych, pełniących funkcję mechanizmów przetwarzania informacji oraz motywów nieadaptacyjnych reakcji behawioralnych. Z punktu widzenia praktyki oznacza to, że w przypadku niektórych zaburzeń osobowościowych praca na schematach, odwołująca się do doświadczeń z okresu dzieciństwa, może stanowić główny cel ze względu na brak możliwości zmiany biologicznie uwarunkowanej osobowości.

Słowa kluczowe: metacechy osobowości, kołowy model metacech osobowości, wczesne nieadaptacyjne schematy

Abstract: Introduction and objective: The objective of the research presented here was an attempt to identify, represented in metatraits, personality-based determinants for early maladaptive schemas in Young's concept. The basic assumption was that metatraits understood as biologically conditioned, basic forces shaping a person's style of functioning in the sphere of thoughts, feelings and behaviour, explain to a significant extent the intensity of the maladaptive cognitive-emotional schemas. *Materials and methods:* A group of 404 subjects (221 women and 183 men) aged between 18 and 78 years ($M = 37$; $SD = 10,78$). Respondents completed the *CPM-Q-SF Personality Questionnaire* and the *YSQ-S3 Young's Schema Questionnaire*. *Results:* The results from the advanced statistical analyses confirmed the assumption that personality metatraits play a significant role in terms of predicting early maladaptive schemas. It turned out that the metatraits alpha-minus disinhibition and gamma-minus disharmony underlie all five schema areas in Young's approach. *Conclusions:* By verifying the relationships discussed, it is possible to conclude that metatraits denoting emotional instability, low frustration tolerance, aggressiveness as well as depressiveness, distrust and generally poor psycho-physical condition may represent a biologically determined personality basis for the organisation and development of dysfunctional mental codes that function as information processing mechanisms and motives for maladaptive behavioural reactions. In practical terms, the above-mentioned means that in case of certain personality disorders, working on schemas, referring to childhood experiences, may be the main approach due to the inability to change the biologically determined personality.

Keywords: personality metatraits, circumplex of personality metatraits, early maladaptive schemas

Wprowadzenie

Young (2010), zmotywowany niską efektywnością terapii poznawczo-behawioralnej w kontekście nawrotowości niektórych zaburzeń psychicznych, rozwinął kognitywne znaczenie schematów, charakteryzując je jako skutki destruktywnych doświadczeń z dzie-

ciństwa, związanych z deprivacją podstawowych potrzeb psychicznych. Podejście to koncentruje się na innych niż zniekształcenia poznawcze czynnikach, które podtrzymują sztywność schematów oraz nadaje o wiele większe znaczenie ich wczesnodziecięcym

źródłom (Roediger et al., 2018). Schemat w ujęciu Younga (2010) to więcej niż przekonanie, to dysfunkcyjny wzorzec składający się z odpowiadających sobie wspomnień, emocji, myśli oraz doznań cielesnych. Aktualny model zakłada osiemnaście tego typu schematów, przyporządkowanych do pięciu czynników wyższego rzędu, zwanych obszarami. Te obszary to: rozłączenie i odrzucenie, osłabiona autonomia i brak dokonań, uszkodzone granice, nakierowanie na innych oraz nadmierna czujność i zahamowanie (Young et al., 2003).

1. Teoretyczne podstawy badań własnych

Oprócz środowiska rodzinnego, odpowiedzialnego w głównej mierze za poziom zaspokojenia potrzeb dziecka, znaczący wpływ na rozwój nieadaptacyjnych schematów mają również jego dyspozycje wrodzone (Vreeswijk et al., 2015). Osobowościowe właściwości, które wchodzą w interakcje z doświadczeniami

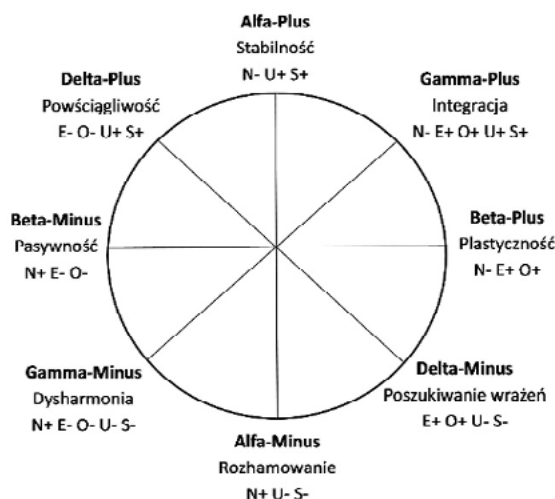
społecznymi, mogą decydować o jakości kształtowanych schematów, wzmacniać lub niwelować ich natężenie, a nawet stanowić główną przyczynę ich powstania i rozwoju (Young et al., 2003; Arntz i Van Genderen, 2020).

Metacechy definiowane jako uwarunkowane biologicznie ogólne i podstawowe wzorce osobowościowych skłonności (Digman, 1997; DeYoung et al., 2002; Musek, 2007) adekwatnie wpisują się w przytoczone powyżej założenia koncepcji Younga i wsp. (2003) odnośnie do udziału wrodzonych dyspozycji w procesie rozwoju nieadaptacyjnych schematów. Wielu badaczy wskazuje na biologiczne wyposażenie metacech, dowodząc ich genetycznych i neuropsychologicznych podstaw (DeYoung et al., 2002; Hirsh et al., 2009; Jang et al., 2006; Musek, 2007; Rushton et al., 2008; Rushton i Irwing, 2011). Zgodnie z ujęciem Strusa i wsp. (2014) tak rozumiane metacechy tworzą kołową strukturę zwaną *Circumplex of Personality Metatraits* – CPM, wyznaczoną przez ortogonalną konfigurację dwóch podstawowych wymiarów: alfa i beta, na której lokują się dwie do-

Tabela 1. Znaczenie metacech w CPM

Metacecha	Konfiguracja Wielkiej Piątki	Znaczenie
Alfa-plus Stabilność	N-, U+, S+ (EO, OO)	przystosowanie społeczne, etyczna postawa wobec świata, zdolność odraczania gratyfikacji, cierpliwe i wytrwałe dążenie do celu, spokój i zrównoważenie emocjonalne
Alfa-minus Rozhamowanie	N+, U-, S- (EO, OO)	chwiejność emocjonalna, niezrównoważenie, niska tolerancja na frustrację, agresja, antagonizm wobec ludzi, norm i zobowiązań społecznych
Beta-plus Plastyczność	N-, E+, O+ (UO, SO)	behawioralna i poznawcza otwartość na zmiany, zaangażowanie w nowe doświadczenia, tendencja do eksplorowania, inicjatywy i inwencji w relacjach społecznych, ukierunkowanie na rozwój osobisty
Beta-minus Pasywność	N+, E-, O- (UO, SO)	nieśmiałość, bierność w sferze behawioralnej i poznawczej, apatia, zahamowanie, submisyjność i uległość w relacjach z ludźmi
Gamma-plus Integracja	N-, E+, O+, U+, S+	równowaga w stosunku do samych siebie, jak i do innych ludzi, efektywność, otwartość na świat, serdeczna i prospołeczna postawie, doświadczanie dobrostanu psychicznego
Gamma-minus Dysharmonia	N+, E-, O-, U-, S-	depresyjność, negatywna emocjonalność, pesymizm, nieufność w relacjach interpersonalnych, podatność na problemy mentalne, deficyty w zakresie zdrowia psychicznego i fizycznego
Delt-plus Powsięgliwość	E-, O-, U+, S+ (NO)	skłonności do konformizmu i konwencjonalizmu, niska emocjonalność (zarówno negatywna, jak i pozytywna), dysfunkcyjna sztywność zachowań, silna tendencja do dostosowywania społecznego, skromność, skrupulatność, skłonność do perfekcjonizmu
Delta-minus Poszukiwanie wrażeń	E+, O+, U-, S- (NO)	impulsywność, labilność emocjonalna, poszukiwanie stymulacji i podejmowanie ryzyka, dominacja i ekspansywność w relacjach społecznych, tendencje hedonistyczne

Anotacja. N = Neurotyczność; E = Ekstrawersja; O = Otwartość; U = Ugodowość, S = Sumiennność; +/- = wysokie/niskie nasilenie cechy, 0 = przeciętne nasilenie cechy (Kwiatkowska i Strus, 2021).



Ryc. 1. Kołowy Model Metacech Osobowości (CPM)

Adnotacja. N = Neurotyczność, E = Ekstrawersja, O = Otwartość, U = Ugodowość, S = Sumienność, +/- = wysokie/niskie natężenie cechy. Źródło: Kwiatkowska i Strus, 2021.

datkowe metacechy: gamma i delta. Każda z nich jest dwubiegunowa, a poszczególnym biegunom odpowiadają określone zestawy cech Wielkiej Piątki (Costa i McCrae, 1992), jednak tworząc coś więcej niż tylko ich połączenie. Strukturę tę przedstawia rycina 1, zaś poniżej znajduje się tabela 1, zawierająca charakterystykę metacech.

Kołowa organizacja nadaje metacechom szczególnej wartości w postaci możliwości unifikacji wielu innych modeli i konstruktów osobowościowych dotyczących temperamentu, wartości, emocji czy zaburzeń psychicznych (Strus i Ciecuch, 2017). Teoretyczny potencjał CPM oznacza także możliwość dopasowania czyli lokalizacji wielu różnych charakterystyk osobowościowych w kręgu metacech. Taki zabieg pozwala zidentyfikować najbardziej podstawowe predyspozycje reprezentowane w metacechach dla większych treściowo wzorców poznawczych, emocjonalnych i motywacyjnych (Kwiatkowska i Strus, 2021; Rogoza et al., 2019; Skoczeń et al., 2018).

W kontekście powyższych rozważań zasadne wydaje się przyjęcie założenia, że metacechy stanowią osobowościowe podstawy wczesnych nieadaptacyjnych schematów, zaś te, jako wzorce poznawczo-emocjonalne, w pewnym stopniu odzwierciedlają leżące u ich podłoża metacechowe dyspozycje. Dotychczasowe analizy, skupiające się wyłącznie na osobowościowych podstawach schematów, głównie obejmują

badania korelacyjne, wskazujące na istotne związki schematów z cechami Wielkiej Piątki, zwłaszcza z wysoką neurotycznością (Muris, 2006; Sava, 2009, Thimm, 2010). Zbadano także zależności między schematami a wymiarami osobowości, określanymi za pomocą *TCI – Temperament and Character Inventory*. Inwentarz ten wyróżnia cztery wymiary temperamentu (poszukiwanie nowości, unikanie szkody, uzależnienie od nagrody, wytrwałość) oraz trzy wymiary charakteru (samokierowanie, skłonność do współpracy i autotranscendencja). Analizy wykazały wysoki poziom dodatnich i ujemnych korelacji między większością skal *TCI* a poszczególnymi schematami (Halvorsen et al., 2009; Atalay et al., 2013). Przytoczone rezultaty pozwalają zatem wnioskować, że osobowościowe dyspozycje mogą być uważane za istotny czynnik podatności w zakresie rozwoju nieadaptacyjnych schematów. Metacechy opisują ogólne i podstawowe wzorce osobowościowych skłonności (Strus i Ciecuch, 2021), w związku z czym wydaje się, że ten poziom opisu jest najbardziej trafny i adekwatny dla analizy, rozumienia i predykcji schematów w kontekście ich psychobiologicznego podłoża.

2. Metodologia badań własnych

2.1. Cel badań, problem, postawione hipotezy

Zaprojektowano więc badania, których celem była próba określenia, reprezentowanych w metacechach, osobowościowych podstaw wczesnych nieadaptacyjnych schematów. Na bazie przesłanek teoretycznych sformułowano pięć hipotez, dotyczących lokalizacji obszarów schematów (Young et al., 2003) w kołowym modelu metacech CPM (Kwiatkowska i Strus, 2021).

Obszar rozłączenia i odrzucenia dotyczy głównie trudności w budowaniu więzi. Przynależące do niego schematy wiążą się z poczuciem opuszczenia, niewystarczającej miłości ze strony innych ludzi, zagrożenia w relacjach społecznych, niezaskądowania na miłość, braku przynależności (Young et al., 2003). Analizując metacechowe predyspozycje (Kwiatkowska i Strus, 2021) postawiono hipotezę

H1 zakładającą, że za tego rodzaju wzorce myśli i uczuć odpowiadają: niedostępność, nieufność, dystans i chłód emocjonalny w stosunku do innych ludzi (gamma-minus dysharmonia).

Drugi obszar osłabionej autonomii i braku dokonań dotyczy niskiego poziomu poczucia podmiotowości i kompetencji (Young, 2010). Odnosząc przekonania i odczucia związane z tym obszarem do metacech (Kwiatkowska i Strus, 2021) sformułowano hipotezę H2, zgodnie z którą słaba kondycja psychiczna (gamma-minus) w połączeniu z poznawczą i behawioralną biernością (beta-minus) stanowią podłoże schematów związanych z deficytem wiary w siebie oraz przeświadczeniem o braku gotowości do samostanowienia.

Trzeci obszar uszkodzonych granic odnosi się do trudności z akceptacją ograniczeń. Na podstawie znaczeniowego podobieństwa omawianych schematów (Young et al., 2003) z metacechami osobowości (Kwiatkowska i Strus, 2021), postawiono hipotezę H3. Założono w niej, że tendencje do popadania we frustrację, agresywność oraz antagonizm wobec ludzi, norm i zobowiązań (alfa-minus) warunkują przeświadczenia związane z osłabioną kontrolą, nietolerowaniem odraczania gratyfikacji oraz trudnościami w zakresie respektowania własnych i cudzych granic.

Typową cechą dla obszaru nakierowania na innych jest poczucie konieczności przedkładania potrzeb i pragnień innych ludzi ponad własne (Young et al., 2003). Odnosząc przekonania i odczucia związane z tym obszarem do metacech osobowości (Kwiatkowska i Strus, 2021), sformułowano hipotezę H4, zgodnie z którą założono, że nakierowanie na innych wynikające z poczucia presji zaspokajania potrzeb otoczenia rozwija się na bazie zależności i podporządkowania w relacjach społecznych (beta-minus) oraz ogólnej słabej kondycji i odporności psychicznej (gamma-minus).

Piąty obszar nadmiernej czujności i zahamowania cechuje odczuwanie lęku i napięcia, które uniemożliwiają osiągnięcie stanu relaksu i psychicznego komfortu (Young et al., 2003). Analizując tego typu wzorce myśli i emocji w odniesieniu do metacechowych predyspozycji (Strus i Ciecuch, 2021), sformułowano hipotezę H5, zakładającą, że depresyjność, nieufność i słaba odporność psychiczna (gamma-minus) leżą u podstaw obszaru nadmiernej czujności i zahamowania.

2.2. Narzędzia diagnostyczne

Celem uzyskania wyników w zakresie badanych zmiennych wykorzystano *Kwestionariusz Osobowości CPM-Q-SF* oraz *Kwestionariusz Schematów Younga YSQ-S3*.

Kwestionariusz Osobowości CPM-Q-SF autorstwa Strusa i wsp. (2014) zawiera 72 stwierdzenia opisujące różne myśli, uczucia, zachowania i służy do badania 8 metacech wyróżnionych w Kołowym Modelu Metacech Osobowości (CPM). W niniejszym badaniu wskaźniki alfa-Cronbacha dla poszczególnych skal wahały się od 0,68 do 0,84.

Kwestionariusz Schematów Younga YSQ-S3 (Young, 2005) w polskiej adaptacji Oettingen i wsp. (2018) służy do pomiaru nasilenia 18 wczesnych nieadaptacyjnych schematów, tworzących 5 ogólnych obszarów w ujęciu Younga i wsp. (2003). Parametry rzetelności alfa-Cronbacha dla poszczególnych skal wyniosły od 0,76 do 0,94.

2.3. Badane osoby

Badanie osób dorosłych zostało przeprowadzone drogą on-line zgodnie z zasadami zawartymi w Deklaracji Helsińskiej. Osoby badane zostały poinformowane o dobrowolnym udziale, celu i przebiegu badania oraz zostały zapewnione o pełnej anonimowości i wykorzystaniu uzyskanych wyników wyłącznie do celów naukowych. Po wyrażeniu zgody respondenci otrzymywali link, umożliwiający wzięcie udziału w badaniu. Łącznie przebadano 404 osoby, wśród których 54,7% to kobiety (221), zaś 45,3% to mężczyźni (183). Wiek badanych osób mieścił się w przedziale od 18 do 78 roku życia ($M = 36,80$; $SD = 10,78$). Większość z nich to osoby mieszkające w miastach liczących powyżej 50 tys. mieszkańców – 41,6% (168), jak i w miejscowościach do 10 tys. mieszkańców – 35,4% (143). Pozostałe 23% (93) jako miejsce zamieszkania wskazało na miasto liczące od 10 tys. do 50 tys. obywateli. Badana populacja w większości składała się z osób posiadających wyższe wykształcenie – 58,4% (236). Pozostali uczestnicy badania to osoby studiujące – 19,8% (80) oraz posiadające wykształcenie: średnie – 10,9% (44), podstawowe – 9,4% (38) i zasadnicze zawodowe – 1,5% (6). Jeśli

chodzi o status związku badaną grupę tworzyły osoby będące w: związku formalnym – 44,1% (178), związku nieformalnym z planami na wspólną przyszłość – 18,3% (74), związku nieformalnym bez planów na wspólną przyszłość – 13,1% (53). Pozostałe 24,5% (99) zadeklarowało brak jakiegokolwiek związku.

2.4. Metody analizy statystycznej

Ze względu na liczebność poszczególnych schematów oraz klarowność prezentacji i interpretacji wyników analizy ograniczono do pięciu ogólnych obszarów schematów.

Hipotezy dotyczące lokalizacji nieadaptacyjnych schematów w modelu CPM testowano zgodnie z procedurą rekomendowaną przez Rogożę i wsp. (2021) w środowisku R.Studio. Uzyskane wyniki przeanalizowano biorąc pod uwagę trzy najbardziej istotne z punktu widzenia niniejszej pracy parametry określające jakość wzajemnych zależności pomiędzy analizowanymi konstruktami. Pierwszy z nich to współczynnik dobroci dopasowania modelu ($fit; R^2$). Wskaźnik ten dotyczy stopnia dopasowania profili korelacji zmiennych zewnętrznych do kołowego modelu, czyli w tym przypadku schematów do macierzy CPM. Progi dopasowania wynoszą: $< 0,70$ – złe dopasowanie; $> 0,70 < 0,80$ – akceptowalne dopasowanie; $> 0,80$ – dobre dopasowanie. Drugi to amplituda (*amplitude*), oznaczająca odległość pomiędzy średnią a najwyższą korelacją zmiennej zewnętrznej ze zmiennymi z kołowego modelu, czyli metacechami CPM. Wartość amplitudy $< 0,15$ wska-

zuje na brak zdecydowanego związku z konkretną metacechą, co oznaczałoby, że zmienna zewnętrzna (schematy) nie posiada wyraźnej lokalizacji w kołowej strukturze CPM. Natomiast wartość $> 0,15$ oznacza na tyle silny związek, że zmienna zewnętrzna wyraźnie lokuje się w kręgu metacech. Trzeci wskaźnik to współczynnik kongruencji, wskazujący na stopień zgodności pomiędzy macierzą teoretyczną i macierzą empiryczną. Jego wartość wynosząca $> 0,85$ oznacza akceptowalną zgodność, zaś $> 0,95$ bardzo dobrą zgodność (Strus i Ciecuch, 2021).

3. Wyniki

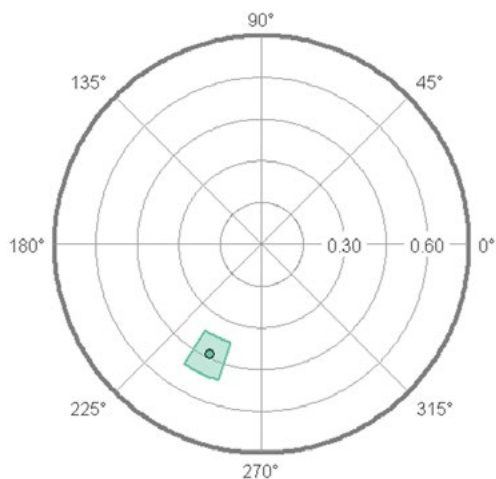
3.1. Prezentacja uzyskanych wyników

Wyniki analiz dotyczących dopasowania i rozlokowania pięciu obszarów schematów w modelu CPM zostały przedstawione w tabeli 2 oraz na odpowiadających jej rycinach 2-6.

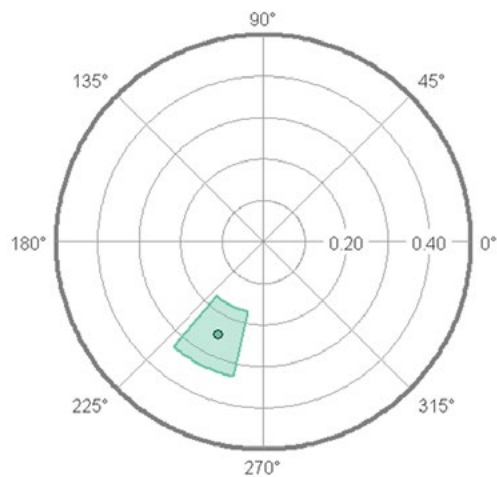
Współczynniki dopasowania dla wszystkich pięciu obszarów osiągnęły wartość przekraczającą 0,80, co świadczy o dobrym ich dopasowaniu w macierzy CPM. Parametry amplitudy ($> 0,15$) wskazały na wyraźną lokalizację analizowanych obszarów w kręgu metacech. Wskaźniki kongruencji potwierdziły wysoki stopień zgodności pomiędzy zakładaną macierzą teoretyczną i uzyskaną macierzą empiryczną ($\geq 0,95$) (tab. 2). Zgodnie z oczekiwaniami określonymi w hipotezie H1 obszar rozłączenia i odrzucenia ulokował się w przestrzeni

Tabela 2. Wskaźniki dopasowania i lokalizacji obszarów schematów w modelu CPM (N=404)

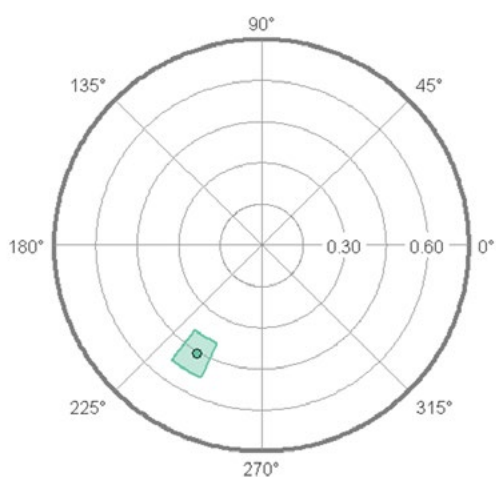
Obszary	Amplituda (amplitude)	Dopasowanie (fit; R ²)	Macierz		Zgodność (congruence)
			Teoretyczna	Empiryczna	
Rozłączenie i odrzucenie	0,44 [0,37; 0,51]	0,96	225	244,5 [236,7; 252,7]	0,99
Ostabiona autonomia i brak dokonań	0,44 [0,37; 0,51]	0,96	202,5	239,1 [232,1; 245,9]	0,95
Uszkodzone granice	0,33 [0,26; 0,42]	0,92	270	259,9 [250,7; 269,8]	0,88
Nakierowanie na innych	0,25 [0,17; 0,33]	0,92	202,5	243,5 [228,4; 258,1]	0,93
Nadmierna czujność i zahamowanie	0,33 [0,25; 0,40]	0,96	225	230,9 [220,5; 240,1]	0,98



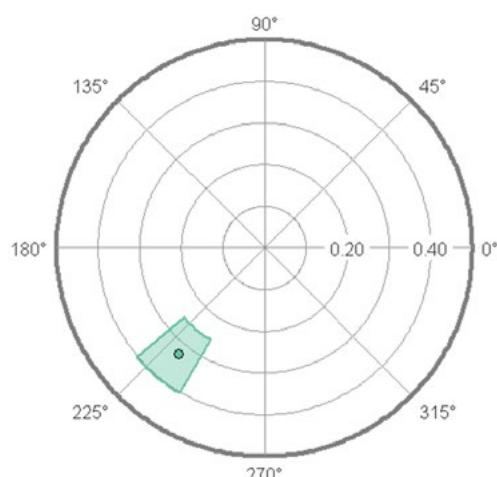
Ryc. 2. Lokalizacja obszaru rozłączenia i odrzucenia w modelu CPM



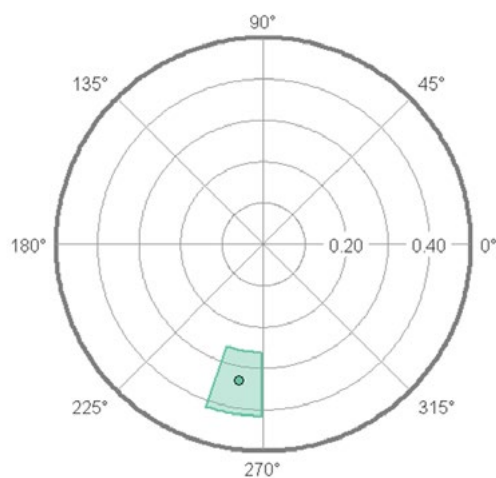
Ryc. 5. Lokalizacja obszaru nakierowania na innych w modelu CPM



Ryc. 3. Lokalizacja obszaru osłabionej autonomii i braku dokonań w modelu CPM



Ryc. 6. Lokalizacja obszaru nadmiernej czujności i zahamowania w modelu CPM



Ryc. 4. Lokalizacja obszaru uszkodzonych granic w modelu CPM

CPM w rejonie wyznaczonym przez gammę-minus dysharmonię (225°) z przesunięciem w kierunku alfy-minus rozhamowania (270°) (ryc. 2). Tak jak zakładano w hipotezie H2 obszar osłabionej autonomii i braku dokonań ułożył się w okolicach gammy-minus dysharmonii (225°), jednak wbrew oczekiwaniom nie w powiązaniu z beta-minus pasywnością (180°), a alfa-minus rozhamowaniem (270°) (ryc. 3). Obszar uszkodzonych granic ułożył się w kręgu metacech w rejonie wyznaczonym przez alfa-minus rozhamowanie (270°) z relokacją w kierunku gammy-minus dysharmonii (225°) (ryc. 4). Jest to wynik zgodny z oczekiwaniami sformułowanymi w hipotezie H3. Lokum obszaru nakierowania na innych w CPM znalazło się w okolicach 230°, a więc pomiędzy gammą-minus

dysharmonią (225°) i alfa-minus rozhamowaniem (270°), a nie jak zakładano w hipotezie H4 pomiędzy gammą-minus dysharmonią (225°) i beta-minus pasywnością (180°) (ryc. 5). Obszar nadmiernej czujności i zahamowania ułożył się w przestrzeni CPM w rejonie wyznaczonym przez gammą-minus dysharmonię (225°) (ryc. 6). Taki rezultat jest zgodny z przyjętym założeniem w hipotezie H5.

3.2. Dyskusja

Problematyka podejmowana w niniejszym artykule zasadniczo koncentrowała się wokół poszukiwań, reprezentowanych w metacechach, osobowościowych uwarunkowań, które przyczyniają się do rozwoju schematów Younga. Okazało się, że rejon kołowej struktury metacech (Kwiatkowska i Strus, 2021), mieszczący się pomiędzy alfa-minus rozhamowaniem i gammą-minus dysharmonią stanowi podłoże wszystkich pięciu obszarów schematów, również tych, które przez wzgląd na submisyjny charakter hipotetycznie wiązano z beta-minus pasywnością. A zatem chwiejność emocjonalna, niska tolerancja na frustrację, agresywność, tendencje antagonistyczne wobec ludzi i zasad ukierunkowane internalizacyjnie, co w efekcie przybiera formę niedostępności, depresyjności, negatywnej emocjonalności i ogólnej słabej kondycji psychicznej, stanowią podłoże rozwoju przeświadczeń związanych z głębokim poczuciem braku bezpieczeństwa w relacjach interpersonalnych, bezradności i zależności od innych, niemożności odraczania gratyfikacji, konieczności dostosowywania swoich działań do cudzych opinii i pragnień oraz powinności tłumienia przeżywania emocji i wyrażania własnych potrzeb.

Prawidłowość ta pozostaje w zgodzie z dotychczasowymi badaniami, wskazującymi na wyraźne związki schematów głównie z neurotycznością i introwersją (Muris, 2006; Sava, 2009, Thimm, 2010). Uzyskane rezultaty korespondują także z twierdzeniem DeYounga i wsp. (2002) na temat funkcji, jakie pełnią dwa podstawowe metacynniki: alfa i beta. Pierwszy z nich odpowiada za utrzymanie stabilności w zakresie funkcjonowania psychospołecznego, zaś drugi za plastyczność oraz adaptację do nowości i zmian. Brak stabilności oraz niski poziom zdolności przystosowawczych jednostki osłabiają jej system

przetwarzania informacji, który ogranicza skuteczne funkcjonowanie w zmieniającym się środowisku. Jak sugerują wyniki badań własnych omawiany układ nieadaptacyjnych właściwości odpowiada także za organizację i utrwalanie szkodliwych dla jednostki schematów w ujęciu Younga (2010). Warto też zwrócić uwagę na lokalizację obszarów schematów w okolicach gammy-minus dysharmonii, która w modelu CPM (Strus et al., 2014) posiada status ogólnego czynnika psychopatologii na wzór GFP (General Factor of Personality) w koncepcji Muska (2007). Omawiane wyniki potwierdzają psychopatologiczny potencjał gammy-minus dysharmonii jako ogólnej konfiguracji dysfunkcyjnych dyspozycji, która – jak wynika z niniejszych badań – również w głównej mierze odpowiada za różnego rodzaju szkodliwe dla jednostki zniekształcenia poznawcze oraz związane z nimi obciążające stany emocjonalne (Rushton i Irwing, 2011).

Weryfikacja analiz dotyczących lokalizacji schematów Younga w modelu CPM stanowi przesłankę do dalszych badań, związanych z pośredniczącą rolą schematów w związku pomiędzy metacechami a zaburzeniami osobowościowymi (Zawadzki, 2017; Rogoza et al., 2018; Rogoza et al., 2019). Dodatkowo – biorąc pod uwagę analizy wskazujące na to, że niektóre postawy rodzicielskie stanowią istotne predyktory wyjaśniające zmienność schematów (Esmali Kooraneh i Amirsardari, 2015; Mąćik, 2018), interesujące wydają się badania analizujące zależności interakcyjne metacech osobowości z doświadczeniami środowiskowymi na poziomie schematów poznawczo-emocjonalnych.

W kontekście ograniczeń badań własnych przede wszystkim warto zwrócić uwagę na kwestię związaną z przyjętym konceptem badań, zakładającym – w myśl modelu CPM (Strus et al., 2014) – temperamentalną, a zatem występującą od urodzenia strukturę metacech osobowości wśród badanych osób. Co prawda liczne analizy dowodzą neuropsychologicznych podstaw metacech, przez co z założenia charakteryzuje je relatywna stałość w ciągu całego życia, to wnioski na temat ich wpływu w procesie formowania się schematów należy traktować ostrożnie – wyłącznie w odniesieniu do założeń teoretycznych oraz badań potwierdzających ich słuszność.

Wnioski

Empiryczna lokalizacja pięciu obszarów schematów w kołowej macyry metacech pozwala stwierdzić, że naturalne tendencje jednostki do chwiejności emocjonalnej, popadania we frustrację, depresyjności, nieufności oraz ogólna słaba odporność psychofizyczna stanowią osobowościowy potencjał w zakresie rozwoju dysfunkcyjnych

kodów mentalnych, pełniących funkcję mechanizmów przetwarzania informacji oraz motywów nieadaptacyjnych reakcji behawioralnych. W wymiarze praktycznym oznacza to, że w przypadku niektórych zaburzeń osobowościowych praca na schematach, odwołująca się do doświadczeń z okresu dzieciństwa, może stanowić główny cel ze względu na ograniczone możliwości zmiany biologicznie uwarunkowanej osobowości.

Bibliografia

- Arntz, A., Van Genderen, H. (2020). *Schema Therapy for Borderline Personality Disorder*. Hoboken: John Wiley and Sons.
- Atalay, H., Akbas, N.B., Zahmacioglu, O., Kilic, E.Z., Goktuna, Z. (2013). Are early maladaptive schemas, temperament and character dimensions correlated? *Open Journal of Psychiatry*, 3(2), 206-213. <https://doi.org/10.4236/ojpsych.2013.32018>
- Costa, P.T., Jr., McCrae, R.R. (1992). *Revised NEO Personality Inventory (NEO-PI-R) and NEO Five-Factor Inventory (NEO-FFI) professional manual*. Odessa: Psychological Assessment Resources.
- DeYoung, C.G., Peterson, J.B., Higgins, D.M. (2002). Higher-order factors of the Big Five predict conformity: Are there neuroses of health? *Personality and Individual Differences*, 33(4), 533-552. [https://doi.org/10.1016/S0191-8869\(01\)00171-4](https://doi.org/10.1016/S0191-8869(01)00171-4)
- Digman, J.M. (1997). Higher-order factors of the Big Five. *Journal of Personality and Social Psychology*, 73(6), 1246-1256. <https://doi.org/10.1037/0022-3514.73.6.1246>
- Esmali Kooraneh, A., Amirsardari, L. (2015). Predicting Early Maladaptive Schemas Using Baumrind's Parenting Styles. *Iranian Journal of Psychiatry and Behavioral Sciences*, 9(2), e952. <https://doi.org/10.17795/ijpbs952>
- Halvorsen, M., Wang, C.E., Richter, J., Myrland, I., Pedersen, S.K., Eisemann M., Waterloo, K. (2009). Early Maladaptive Schemas, Temperament and Character Traits in Clinically Depressed and Previously Depressed Subjects. *Clinical Psychology and Psychotherapy*, 16(5), 394-407. <https://doi.org/10.1002/cpp.618>
- Hirsh, J.B., DeYoung, C.G., Peterson, J.B. (2009). Metatraits of the Big Five differentially predict engagement and restraint of behaviour. *Journal of Personality*, 77(4), 1085-1102. <https://doi.org/10.1111/j.1467-6494.2009.00575.x>
- Jang, K.L., Livesley, W.J., Ando, J., Yamagata, S., Suzuki, A., Angleitner, A., Ostendorf, F., Riemann, R., Spinath, F. (2006). Behavioral genetics of the higher-order factors of the Big Five. *Personality and Individual Differences*, 41(2), 261-272. <https://doi.org/10.1016/j.paid.2005.11.033>
- Kwiatkowska, M.M., Strus, W. (2021). Social Inhibition: Theoretical Review and Implications for a Dual Social Inhibition Model within the Circumplex of Personality Metatraits. *Studia Psychologica: Theoria et Praxis*, 21(2), 57-109. <https://doi.org/10.21697/sp.2021.21.2.04>
- Mącik, D. (2018). Rola postaw rodzicielskich w kształtowaniu wczesnych nieadaptacyjnych schematów. *Polskie Forum Psychologiczne*, 23(1), 201-215. <https://doi.org/10.14656/PFP20180113>
- Muris, P. (2006). Maladaptive schemas in non-clinical adolescents: relations to perceived parental rearing behaviours, big five personality factors and psychopathological symptoms. *Clinical Psychology and Psychotherapy*, 13, 405-413. <https://doi.org/10.1002/cpp.506>
- Musek, J. (2007). A general factor of personality: Evidence of the Big One in the five-factor model. *Journal of Research in Personality*, 41(6), 1213-1233. <https://doi.org/10.1016/j.jrp.2007.02.003>
- Oettingen, J., Chodkiewicz, J., Mącik, D., Gruszczyńska, E. (2018). Polska adaptacja i walidacja krótkiej wersji Kwestionariusza Schematów Younga (YSQ-S3-PL). *Psychiatria Polska*, 52(4), 707-718. <https://doi.org/10.12740/PP/OnlineFirst/76541>
- Roediger, E., Stevens, B.A., Brockman, R. (2018). *Contextual schema therapy: An integrative approach to personality disorders, emotional dysregulation, and interpersonal functioning*. Oakland: New Harbinger Publications.
- Rogoza, R., Ciecuch, J., Strus, W. (2021). A three-step procedure for analysis of circumplex models: An example of narcissism located within the circumplex of personality metatraits. *Personality and Individual Differences*, 169(1), 109775. <https://doi.org/10.1016/j.paid.2019.109775>
- Rogoza, R., Kowalski, C.M., Schermer, J.A. (2019). Dark Triad traits within the framework of the Circumplex of Personality Metatraits Model. *Journal of Individual Differences*, 40(3), 168-176. <https://doi.org/10.1027/1614-0001/a000289>
- Rogoza, R., Żemojtel-Piotrowska, M., Kwiatkowska, M., Kwiatkowska, K. (2018). The Bright, the Dark, and the Blue Face of Narcissism: The Spectrum of Narcissism in Its Relations to the Metatraits of Personality, Self-Esteem, and the Nomological Network of Shyness, Loneliness, and Empathy. *Personality and Social Psychology*, 9, 1-12. <https://doi.org/10.3389/fpsyg.2018.00343>
- Rushton, J.P., Bons, T.A., Hur, Y.M. (2008). The genetics and evolution of general factor of personality. *Journal of Research in Personality*, 42, 1173-1185. <https://doi.org/10.1016/j.jrp.2008.03.002>
- Rushton, J.P., Irwing, P. (2011). The General Factor of Personality: Normal and abnormal. (W:) T. Chamorro-Premuzic, S. von Stumm, A. Furnham (red.), *The Wiley-Blackwell handbook of individual differences*, 134-163. Londyn: Blackwell Publishing Ltd.
- Sava, F.A. (2009). Maladaptive schemas, irrational beliefs, and their relationship with the five-factor personality model. *Journal of Cognitive and Behavioral Psychotherapies*, 9(2), 135-147. (Za:) <https://psycnet.apa.org/record/2009-18360-002> (dostęp: 20.04.2024)

- Skoczeń, I., Rogoza, R., Maćkiewicz, M., Najderska, M., Ciecuch, J. (2018). Investigating the structural model of the Strengths and Difficulties Questionnaire. *European Journal of Psychological Assessment, 34*(5), 312-320. <https://doi.org/10.1027/1015-5759/a000344>
- Strus, W., Ciecuch, J. (2017). Towards a synthesis of personality, temperament, motivation, emotion and mental health models within the Circumplex of Personality Metatraits. *Journal of Research in Personality, 66*, 70-95. <https://doi.org/10.1016/j.jrp.2016.12.002>
- Strus, W., Ciecuch, J. (2021). The Circumplex of Personality Metatraits and the HEXACO model: Toward refinement and integration. *Journal of Personality, 89*(4), 803-818. <https://doi.org/10.1111/jopy.12616>
- Strus, W., Ciecuch, J., Rowiński, T. (2014). The Circumplex of Personality Metatraits: A synthesizing model of personality based on the Big Five. *Review of General Psychology, 18*(4), 273-286. <https://doi.org/10.1037/gpr0000017>
- Thimm, J.C. (2010). Personality and early maladaptive schemas: A five-factor model perspective. *Journal of Behavior Therapy and Experimental Psychiatry, 41*, 373-380. <https://doi.org/10.1016/j.jbtep.2010.03.009>
- Vreeswijk, M., Broersen, J., Nadort, M. (2015). *The Wiley-Blackwell Handbook of Schema Therapy: Theory, Research, and Practise*. Hoboken: John Wiley and Sons.
- Young, J.E. (2005). *Young Schema Questionnaire – Short Form 3 (YSQ-S3)*. New York: Cognitive Therapy Center.
- Young, J.E. (2010). *Schema Therapy*. Abingdon: Taylor & Francis.
- Young, J.E., Klosko, J.S., Weishaar M.E. (2003). *Schema Therapy*. New York: The Guilford Press.
- Zawadzki, B. (2017). Lokalizacja zaburzeń osobowości w Kołowym Modelu Metacech Osobowości. *Roczniki Psychologiczne, XX, 2*, 473-491. <https://doi.org/10.18290/rpsych.2017.20.2-7pl>